

Lax-Wendroffovo schéma
 odvození $u_t + au_x = 0$

- Taylorův rozvoj v t

$$u(t+\Delta t, x) = u(t, x) + \Delta t u_t(t, x) + \frac{\Delta t^2}{2} u_{tt}(t, x) + O(\Delta t^3)$$

víme $u_t = -au_x$
 zili $u_{tt} = -au_{tx} = a^2 u_{xx}$

- dosadíme do Taylora

$$u(t+\Delta t, x) = u(t, x) - a\Delta t u_x + \frac{a^2 \Delta t^2}{2} u_{xx} + O(\Delta t^3)$$

centrální diference

Lax-Wendroff

$$u_j^{n+1} = u_j^n - a\Delta t \frac{u_{j+1}^n - u_{j-1}^n}{2\Delta x} + \frac{a^2 \Delta t^2}{2} \frac{u_{j+2}^n - 2u_j^n + u_{j-2}^n}{\Delta x^2} + O(\Delta t \Delta x^2) + O(\Delta t^2 \Delta x)$$

schéma druhého řádu v t, x

$$\lambda = \frac{\Delta t}{\Delta x} = \text{const}$$

implicitní schéma

- centrální

$$u_t + au_x = 0$$

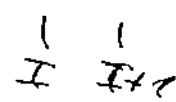
$$\begin{matrix} i-1 & i & i+1 \\ u^{n+1} & 0 & 0 \\ u & 0 & \end{matrix}$$

$$\frac{u_i^{n+1} - u_i^n}{\Delta t} + a \frac{u_{i+1}^{n+1} - u_{i-1}^{n+1}}{2\Delta x} = 0$$

$$i = 1, \dots, I$$

+ okrajové podmínky pro $i=0, I+1, x \in (0, X)$

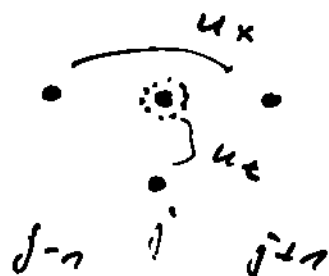
$$\left. \begin{matrix} u_0^{n+1} = u_1^{n+1} \\ u_{I+1}^{n+1} = u_I^{n+1} \end{matrix} \right\} \text{volné o.p. } u_x \Big|_{x=0} = 0 \Big|_{x=X}$$



Implicitni schema

$$u_t + a u_x = 0$$

$$\frac{u_j^{n+1} - u_j^n}{\Delta t} + a \frac{u_{j+1}^{n+1} - u_{j-1}^{n+1}}{2\Delta x} = 0$$

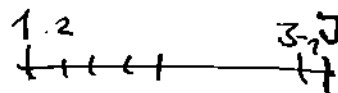


- modifikovaná rovnice

$$u_t + a u_x = \frac{1}{2} \Delta t a^2 u_{xx} + O(\Delta x^2)$$

$$b = \frac{1}{2} \Delta t a^2 > 0$$

- vždy stabilní
- liska / vyuka / ds / implicit / x, u
- okrajová podmínky $x \in (x_0, x_1)$ volné



$$u_x \Big|_{x=x_0} = 0$$

$$u_x \Big|_{x=x_1} = 0$$

$$u_1^{n+1} - u_2^{n+1} = 0$$

$$u_{J-2}^{n+1} - u_{J-1}^{n+1} = 0$$

$$+ u_1^{n+1} - u_2^{n+1} = 0$$

$$- u_{j-1}^{n+1} + a \frac{\Delta t}{2\Delta x} u_j^{n+1} + u_j^{n+1} + u_{j+1}^{n+1} - a \frac{\Delta t}{2\Delta x} u_{j+1}^{n+1} = u_j^n, \quad j=2, \dots, J-2$$

$$- u_{J-2}^{n+1} + u_{J-1}^{n+1} = 0$$

$$\begin{pmatrix} 1 & -1 & 0 & \dots & 0 & \dots & 0 \\ -a \frac{\Delta t}{2\Delta x} & 1 & a \frac{\Delta t}{2\Delta x} & \dots & 0 & \dots & 0 \\ 0 & -a \frac{\Delta t}{2\Delta x} & 1 & \dots & a \frac{\Delta t}{2\Delta x} & \dots & 0 \\ \dots & \dots & \dots & \dots & \dots & \dots & \dots \\ 0 & -a \frac{\Delta t}{2\Delta x} & 1 & a \frac{\Delta t}{2\Delta x} & \dots & \dots & 0 \\ 0 & -1 & 1 & \dots & \dots & \dots & 0 \end{pmatrix} \begin{pmatrix} u_1^{n+1} \\ u_2^{n+1} \\ u_3^{n+1} \\ \dots \\ u_{J-2}^{n+1} \\ u_{J-1}^{n+1} \end{pmatrix} = \begin{pmatrix} 0 \\ u_2^n \\ u_3^n \\ \dots \\ u_{J-2}^n \\ u_{J-1}^n \\ 0 \end{pmatrix}$$

$$M \cdot u^{n+1} = u^n$$

$$u^{n+1} = M^{-1} \cdot u^n$$

Modifikovaná rovnice diferenciálního schématu

(LF)

• Lax - Friedrichsovo schéma pro $u_t + au_x = 0$

$$\frac{u_j^{n+1} - \frac{1}{2}(u_{j+1}^n + u_{j-1}^n)}{\Delta t} + a \frac{u_{j+1}^n - u_{j-1}^n}{2\Delta x} = 0$$

• Taylorův rozvoj v t, x

$$u_t + au_x + \frac{1}{2} \left(\Delta t^2 u_{tt} - \frac{\Delta x^2}{\Delta t} u_{xx} \right) = O(\Delta t^2, \Delta x^2) \approx 0$$

dosedeme (vyloučíme časové derivace kromě u_t)

$$u_{tt} = a^2 u_{xx} + O(\Delta t, \Delta x)$$

a dostaneme modifikovanou rovnici

$$u_t + au_x = \frac{\Delta x^2}{2\Delta t} \left(1 - \frac{\Delta t^2}{\Delta x^2} a^2 \right) u_{xx} + O(\Delta t^2, \Delta x^2)$$

$$u_t + au_x = \frac{\Delta x^2}{2\Delta t} (1 - \alpha^2) u_{xx} + O(\Delta t^2, \Delta x^2)$$

$\alpha = a \frac{\Delta t}{\Delta x}$

je dobře podmíněná $\Leftrightarrow 1 - \alpha^2 \geq 0$

$$|\alpha| \leq 1$$

což je podmínka stability LF schéma

• LF schéma je *diffusivní* modif.-lf. mws
 ~ liska/vyuka/ds/analysis/mod.x. mws

• Lax-Wendroffovo schéma má modifikovanou rovnici

$$u_t + au_x = \frac{\Delta x^2}{6} a \left(\frac{\Delta t^2}{\Delta x^2} a^2 - 1 \right) u_{xxx} + c_4 u_{xxxx}$$

$a > 0, \alpha = a \frac{\Delta t}{\Delta x}$

disperzní

• rovnice $u_t + au_x = c u_{xxx}$ $c_4 < 0$

náhrada řešení $u \rightarrow \hat{u}_0 e^{-i q(\omega) t} e^{i \omega x}$

$$-i q(\omega) + i \omega a = -i \omega^3 c$$

disperzní velice

$$q(\omega) = a \omega + c \omega^3$$

fázová rychlost vlny

$$v_f(\omega) = q(\omega)/\omega = a + c \omega^2$$

grupová rychlost

$$v_g(\omega) = q'(\omega) = a + 3c \omega^2$$

- různé pro různá vlnová čísla

$$c = \frac{1}{6} \Delta x^2 a (\alpha^2 - 1), \text{ podmínka stability } |\alpha| \leq 1$$

pro $a > 0 \Rightarrow c < 0 \Rightarrow v_{fg} < a$ $a < 0 \Rightarrow c > 0$
 $v_{fg} > a$ $|v_{fg}| < |a|$

žili všechny vlny s vlnovým číslem $\omega \neq 0$ mají menší rychlost

Parabolické rovnice

- rovnice vedení tepla

$$u_t = b u_{xx}$$

- dobré podmíněná pro $b > 0$

počáteční podmínka $u(0, x) = u_0(x)$

- Fourierova transformace v x

$$u = \hat{u} e^{i\omega x}$$

$$\hat{u}_t = -b\omega^2 \hat{u}$$

$$\hat{u} = e^{\lambda t} \rightarrow \lambda = -b\omega^2$$

$$\hat{u}(t, \omega) = e^{-b\omega^2 t} \hat{u}_0(\omega)$$

- inverzní Fourierova transformace

$$u(t, x) = \frac{1}{\sqrt{2\pi}} \int_{-\infty}^{\infty} e^{i\omega x} e^{-b\omega^2 t} \hat{u}_0(\omega) d\omega$$

$$\hat{u}_0(\omega) = \frac{1}{\sqrt{2\pi}} \int_{-\infty}^{\infty} e^{-i\omega x} u_0(x) dx$$

$$u(t, x) = \frac{1}{\sqrt{2\pi}} \int_{-\infty}^{\infty} e^{i\omega x} e^{-b\omega^2 t} \left(\frac{1}{\sqrt{2\pi}} \int_{-\infty}^{\infty} e^{-i\omega y} u_0(y) dy \right) d\omega =$$

$$= \frac{1}{2\sqrt{\pi}} \int_{-\infty}^{\infty} \left(\frac{1}{\sqrt{\pi}} \int_{-\infty}^{\infty} e^{i\omega(x-y)} e^{-b\omega^2 t} d\omega \right) u_0(y) dy =$$

$$= \frac{1}{2\sqrt{\pi b t}} \int_{-\infty}^{\infty} e^{-(x-y)^2/4bt} u_0(y) dy$$

- vážený průměr u_0
- pro malé t velmi úzký pík vážený okolo $y = x$
pro větší t je váhová funkce mnohem širší
- $u \in C_{tx}^{\infty}$ - nekonečně diferencovatelné
- $u_0 \geq 0 \wedge u_0(x) \neq 0 \Rightarrow u(t, x) > 0, t > 0$

Parabolické rovnice

- rovnice vedení tepla

$$u_t = b u_{xx}$$

- diferenční schéma

$$\frac{u_j^{n+1} - u_j^n}{\Delta t} = b \frac{u_{j+1}^n - 2u_j^n + u_{j-1}^n}{\Delta x^2}$$

$$u_j^{n+1} = (1 - 2b\mu) u_j^n + b\mu (u_{j+1}^n + u_{j-1}^n)$$

$$\mu = \frac{\Delta t}{\Delta x^2} \quad \Delta t \leq \frac{1}{2b} \Delta x^2$$

stabilní pro $0 \leq b\mu \leq \frac{1}{2}$

- analýza podmíněnosti

$$u_t = b u_{xx}$$

uvažujeme řešení $q(w)t$

$$u \rightarrow e^{iwx}$$

(Fourier v prostoru)

$$q(w) = -b w^2$$

$$\rightarrow u \sim e^{-b w^2 t} e^{iwx}$$

čili

$b > 0$ dobře podmíněná úloha

$b < 0$ špatně podmíněná úloha

- podmíněnost

$$u_t + a u_x = b u_{xx}$$

$$b > 0$$

dobře podmíněná

$$b < 0$$

špatně

$$\frac{u_j^{n+1} - u_j^n}{\Delta t} + a \frac{u_{j+1}^n - u_{j-1}^n}{2\Delta x} = b \frac{u_{j+1}^n - 2u_j^n + u_{j-1}^n}{\Delta x^2}$$

stabilní pro

$$0 \leq b\mu \leq \frac{1}{2}, \quad \mu = \frac{\Delta t}{\Delta x^2}$$

$$A = a\lambda = a \frac{\Delta t}{\Delta x}$$

$$B = b\mu = b \frac{\Delta t}{\Delta x^2}$$

$$a \rightarrow A \frac{\Delta x}{\Delta t}$$

$$b \rightarrow B \frac{\Delta x^2}{\Delta t}$$

$$A \leq 2b\mu$$

$$\Delta t \leq \frac{2b}{a^2}$$

$$A = \frac{4\epsilon}{\Delta x}$$

if stop. u

Vedami' tepla

$$u_j^{n+1} = (1 - 2b\mu) u_j^n + b\mu (u_{j+1}^n + u_{j-1}^n)$$

$$\frac{u_j^{n+1} - u_j^n}{\Delta t} = b \frac{u_{j+1}^n - 2u_j^n + u_{j-1}^n}{\Delta x^2}$$

$$b\mu = a * dt / dx^2;$$

for j = 2 : J-1

$$u^n(j) = (1 - 2 * b\mu) * u(j) + b\mu * (u(j+1) + u(j-1));$$

end

$$\Delta t \leq \frac{\Delta x^2}{2a}$$

init. u

$$- dt = c * dx^2 / (2 * \overset{\text{abs}}{\downarrow} a);$$

$$\Delta t = c \frac{\Delta x^2}{2a} \quad c \in [0, 1]$$

konvekce - difuzo

$$- dt = c * \min \left(dx^2 / (2 * \text{abs}(b)), 2 * b / a^2 \right);$$

$$a\mu_2 = a * dt / (2 * dx);$$

$$b\mu = b * dt / dx^2;$$

for j = 2 : J-1

$$u^n(j) = (1 - 2 * b\mu) * u(j) + \dots$$

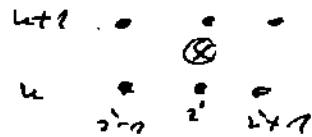
$$b\mu * (u(j+1) + u(j-1)) - \dots$$

$$a\mu_2 * (u(j+1) - u(j-1));$$

Rovnice udelem tepla

Crank-Nicolsonovo schéma

$$u_t = b u_{xx}$$



$$\frac{u_i^{t+1/2} - u_i^t}{\Delta t} = \frac{b}{2} \frac{u_{i+1}^t - 2u_i^t + u_{i-1}^t + u_{i+1}^{t+1/2} - 2u_i^{t+1/2} + u_{i-1}^{t+1/2}}{\Delta x^2}$$

stabilita - von Neumann - stabilni vždy

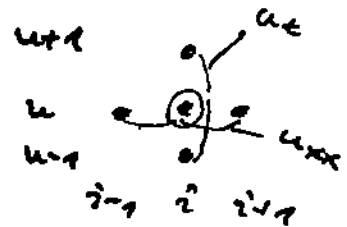
řád přesnosti - Taylor v x, t v bodě $(i, t+1/2)$

$$O(\Delta x^2, \Delta t^2)$$

$$u_t - b u_{xx} + \Delta t^2 \cdot (\dots) + \Delta x^2 \cdot (\dots) = 0$$

Leap Frog

$$\frac{u_i^{t+1} - u_i^{t-1}}{2\Delta t} = b \frac{u_{i+1}^t - 2u_i^t + u_{i-1}^t}{\Delta x^2}$$



stabilita - nestabilni vždy

řád přesnosti - $O(\Delta x^2, \Delta t^2)$

Du Fort - Franko 1

$$\frac{u_i^{t+1} - u_i^{t-1}}{2\Delta t} = b \frac{u_{i+1}^t - u_i^{t-1} - u_i^{t+1} + u_{i-1}^t}{\Delta x^2}$$



stabilita - stabilni vždy

řád přesnosti - $O(\Delta t^2, \Delta x, \Delta t^2/\Delta x^2)$ $b\mu = \text{const}$ $O(\Delta x^2)$
 $O(\Delta t) \mu = \frac{\Delta t}{\Delta x^2}$

explicitni schéma

$$u_i^{t+1} \left(\frac{1}{2\Delta t} + \frac{b}{\Delta x^2} \right) = \frac{u_i^{t-1}}{2\Delta t} + b \frac{u_{i+1}^t - u_i^t + u_{i-1}^t}{\Delta x^2}$$

$$u_i^{t+1} = \frac{u_i^{t-1} + 2b\mu (u_{i+1}^t - u_i^t + u_{i-1}^t)}{1 + 2b\mu}$$



$$\Delta t = \frac{5\Delta x^2}{b}$$

$$b\mu \leq \frac{1}{2} \quad \Delta t \leq \frac{\Delta x^2}{2b}$$

Du Fort-Frankel stabilita

$$u_t = bu_{xx}$$

- charakteristický polynom

$$\mu = \frac{\Delta t}{\Delta x^2}$$

$$(1 + 2b\mu)g^2 - 4b\mu \cos \theta \zeta g - (1 - 2b\mu) = 0$$

- řešení

$$g_{1,2} = \frac{2b\mu \cos \theta \pm \sqrt{1 - 4b^2\mu^2 \sin^2 \zeta}}{1 + 2b\mu}$$

$$1. D = 1 - 4b^2\mu^2 \sin^2 \zeta \geq 0$$

$$|g_{1,2}| \leq \frac{2b\mu |\cos \theta| + \sqrt{1 - 4b^2\mu^2 \sin^2 \zeta}}{1 + 2b\mu} \leq \frac{2b\mu + 1}{1 + 2b\mu} = 1$$

O.K.

$$2. D = 1 - 4b^2\mu^2 \sin^2 \zeta < 0$$

$$g_{1,2} = \frac{2b\mu \cos \theta \pm i \sqrt{4b^2\mu^2 \sin^2 \zeta - 1}}{1 + 2b\mu}$$

$$|g_{1,2}|^2 = \frac{4b^2\mu^2 \cos^2 \zeta + 4b^2\mu^2 \sin^2 \zeta - 1}{(1 + 2b\mu)^2} =$$

$$= \frac{4b^2\mu^2 - 1}{4b^2\mu^2 + 2b\mu + 1} < 1$$

- Schéma je kypodmi'vadit' stabilni'

$$4b^2\mu^2 - 1 < 4b^2\mu^2 + 2b\mu + 1$$

$$-2 < 2b\mu$$

Advekční difuzní rovnice

$$u_t + a u_x = b u_{xx}$$

- rovnice je dobře podmíněná pro $b > 0$
- dif. schéma ...

$$\frac{u_i^{n+1} - u_i^n}{\Delta t} + a \frac{u_{i+1}^n - u_{i-1}^n}{2\Delta x} = b \frac{u_{i+1}^n - 2u_i^n + u_{i-1}^n}{\Delta x^2}$$

• stabilita

$$\lambda = a \frac{\Delta t}{\Delta x}, \quad \mu = b \frac{\Delta t}{\Delta x^2}$$

$$a \rightarrow \lambda \frac{\Delta x}{\Delta t}, \quad b \rightarrow \mu \frac{\Delta x^2}{\Delta t}$$

stabilita $\mu \leq \frac{1}{2} \lambda^2 \wedge \lambda^2 \leq 2\mu \rightarrow a^2 \frac{\Delta t^2}{\Delta x^2} \leq 2b \frac{\Delta t}{\Delta x^2}$

$$\Rightarrow \Delta t \leq \frac{\Delta x^2}{2b} \wedge \Delta t \leq \frac{2b}{a^2} \leftarrow$$

$$u_i^{n+1} = \left(1 - \frac{2b\Delta t}{\Delta x^2}\right) u_i^n + \frac{\Delta t b}{\Delta x^2} (u_{i+1}^n + u_{i-1}^n) - \frac{a\Delta t}{2\Delta x} (u_{i+1}^n - u_{i-1}^n)$$

$$\Rightarrow \Delta t = C \cdot \min\left(\frac{\Delta x^2}{2b}, \frac{2b}{a^2}\right)$$

~ liska/vyuka/dc/pdr.u

Eliptické PDR.

- Laplaceova rovnice $u(x, y)$

$$u_{xx} + u_{yy} = 0 \quad \text{na oblasti } \Omega$$

- Laplaceův operátor

$$\nabla^2 = \frac{\partial^2}{\partial x^2} + \frac{\partial^2}{\partial y^2} = \operatorname{div} \operatorname{grad}$$

- Poissonova rovnice

$$\nabla^2 u = f(x, y)$$

- okrajové podmínky

- Dirichletova

$$u = b_1(x, y) \quad \text{na hranici } \partial\Omega$$

- Neumannova

$$\frac{\partial u}{\partial \vec{n}} = b_2(x, y) \quad \text{na } \partial\Omega$$

\vec{n} je vnější normála k hranici

- Robinova

$$c \frac{\partial u}{\partial \vec{n}} + a u = b_3(x, y) \quad \text{na } \partial\Omega$$

- řešení Poissonovy rovnice - rozložení teploty

- $f(x, y)$ - zdroje tepla, ohřevání

- Dirichletova D.P. - daná teplota na hranici

- Neumannova $\frac{\partial u}{\partial \vec{n}} = 0$ - ideální izolace

$\frac{\partial u}{\partial \vec{n}} = b_2$ - zadaný tok tepla

- Poissonova rovnice s Neumannovou D.P.

$$\nabla^2 u = f(x, y) \quad \text{na } \Omega, \quad \frac{\partial u}{\partial \vec{n}} = b_2 \quad \text{na } \partial\Omega$$

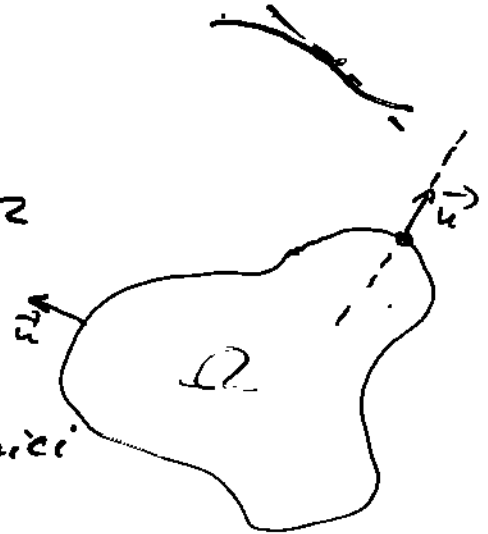
podmínka integrability

$$\iint_{\Omega} f = \int_{\partial\Omega} b_2$$

odvození

$$\iint_{\Omega} f = \iint_{\Omega} \nabla^2 u = \int_{\partial\Omega} \vec{n} \cdot \vec{\nabla} u = \int_{\partial\Omega} \frac{\partial u}{\partial \vec{n}} = \int_{\partial\Omega} b_2$$

\uparrow
grad



Eliptická rovnice

• Def.

$$a(x,y)u_{xx} + 2b(x,y)u_{xy} + c(x,y)u_{yy} + d(x,y,u, u_x, u_y) = f(x,y)$$

je eliptická \Leftrightarrow

$$a > 0, c > 0, b^2 < ac$$

• Pův. eliptická rovnice vyššího řádu
bikharmonická

$$\Delta^2 u = u_{xxxx} + 2u_{xxyy} + u_{yyyy} = f(x,y)$$

• princip maxima

Ukáž: eliptický operátor $Lu = a u_{xx} + 2b u_{xy} + c u_{yy}$,
($a > 0, c > 0, b^2 < ac$)

Pokud pro u platí $Lu \geq 0$ na oblasti Ω
 $\Rightarrow Lu$ má maximum na hranici $\partial\Omega$

Diferenční schéma

• Poissonova rovnice na čtverci, Dirichletovy o.p.

$$u_{xx} + u_{yy} = f(x,y)$$

$$u_{\partial\Omega} = b_{\partial\Omega}$$

• 06 síťka, skost. krokem $\Delta x = \Delta y$

$$\frac{u_{i-1,j} - 2u_{i,j} + u_{i+1,j}}{\Delta x^2} + \frac{u_{i,j-1} - 2u_{i,j} + u_{i,j+1}}{\Delta y^2} = f_{i,j}$$

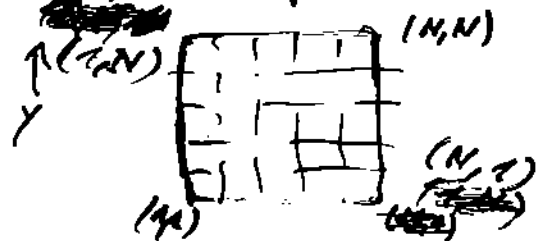
$$\Delta y = \Delta x$$

$$u_{i-1,j} + u_{i+1,j} + u_{i,j-1} + u_{i,j+1} - 4u_{i,j} = f_{i,j} \Delta x^2$$

• Dirichlet. OP

$$u_{0,j} = b_{0,j}, \quad u_{N,j} = b_{N,j}$$

$$u_{i,0} = b_{i,0}, \quad u_{i,N} = b_{i,N}$$



- řešit systém lin. rovnic - počet rovnic $(N-2)^2 \rightarrow x$
- iterační metody - poč. odhad $u_{i,j}^0 = 0, i=2, \dots, N-1, j=2, \dots, N-1$
- Zacobikova iterační metoda

$$u_{i,j}^{k+1} = \frac{1}{4} (u_{i-1,j}^k + u_{i+1,j}^k + u_{i,j-1}^k + u_{i,j+1}^k - f_{i,j} \Delta x^2)$$

- řešení systému

$$Au = b$$

- residuum it. řešení

$$r^k = Au^k - b$$

- max. norma residua

$$R^k = \max_{ij} (|r^k|)$$

- pro uá's pøípad

$$R^k = \max_{ij} (|u_{i-nj}^k + u_{i+nj}^k + u_{ij-n}^k + u_{ij+n}^k - 4u_{ij}^k - f_{ij} \Delta x^2|)$$

- iterační zastavení klyt $R^k \leq \epsilon$ - vstupní parametry
 $\epsilon = 10^{-4}, 10^{-6}$

- problém u: $u = x^2 + y^2$ na $\Omega = (-1, 1) \times (-1, 1)$

$$u_{xx} + u_{yy} = 4, \text{ Dirichlet. podm.}$$

$$u(x = \pm 1, y) = 1 + y^2$$

$$u(x, y = \pm 1) = 1 + x^2$$

mliska / vyuka / ds / elliptic / poisson, u

- schéma

$$u_{i-nj} + u_{i+nj} + u_{ij-n} + u_{ij+n} - 4u_{ij} = f_{ij} \Delta x^2$$

- Gauss - Seidelova metoda - iterace

$$u_{ij}^{k+n} = \frac{1}{4} (u_{i+nj}^k + u_{i-nj}^{k+n} + u_{ij+n}^k + u_{ij-n}^{k+n} - f_{ij} \Delta x^2)$$

při přirozeném pořadí cyklu již zbudíme $u_{i-nj}^{k+n}, u_{ij-n}^{k+n}$

- SOR (successive over-relaxation) iterativní metoda

$$u_{ij}^{k+n} = u_{ij}^k + \omega \left[\frac{1}{4} (u_{i+nj}^k + u_{i-nj}^{k+n} + u_{ij+n}^k + u_{ij-n}^{k+n} - f_{ij} \Delta x^2) - u_{ij}^k \right]$$

optimální volba $\omega \in (1, 2)$

$$\omega = \frac{2}{1 + Ch} \quad h = \Delta x = \Delta y$$

konstanta C se určí experimentálně na hrubé síťce

Metoda konjugovaných gradientů

- řešení lineárního systému

$$Ax = b$$

A - matice $N \times N$

- algoritmus

- symetrická
- pozitivně definitní

x^0 - počáteční odhad řešení ($x^0 = 0$)

$$r^0 = b - Ax^0$$

$$q^0 = Ar^0$$

$$p^0 = r^0$$

iterativní krok:

$$x^{k+1} = x^k + \alpha_k p^k$$

$$r^{k+1} = r^k - \alpha_k q^k$$

$$p^{k+1} = r^{k+1} + \beta_k p^k$$

$$q^{k+1} = Ar^{k+1} + \beta_k q^k$$

$$\alpha_k = \frac{|r^k|^2}{(p^k, q^k)}$$

$$\beta_k = \frac{|r^{k+1}|^2}{|r^k|^2}$$

$$(q^k, p^k) = \sum_{i=1}^N q_i^k p_i^k$$

$$|r^k|^2 = (r^k, r^k)$$

- počet iterací

N	Zacobiho	Gaus-Sordel	SOR	konjugované gradienty
10^2	235	125	125	10
20^2	999	526	526	30
30^2		1989		48
40^2				64
50^2				80

- Poissonova rovnice

$$u_{xx} + u_{yy} = f(x,y) \quad \Delta y = \Delta x$$

- devítibodové schéma $y \uparrow$

$$\left(\partial_x^2 + \partial_y^2 + \frac{1}{6} \partial_x^2 \partial_y^2 \right) u_{ij} = f_{ij}$$

$$\partial_x^2 u_{ij} = \frac{u_{i+1,j} - 2u_{ij} + u_{i-1,j}}{\Delta x^2} \rightarrow x$$

$$\frac{2}{3} (u_{i+1,j} + u_{i-1,j} + u_{i,j+1} + u_{i,j-1}) +$$

$$\frac{1}{6} (u_{i+1,j+1} + u_{i+1,j-1} + u_{i-1,j+1} + u_{i-1,j-1})$$

$$- \frac{10}{3} u_{ij} = f_{ij} \Delta x^2$$

- 5-ti bodové i tato 9-ti bodové schéma je řádu $O(\Delta x^2)$

- modifikovaná 9-ti bodové schéma

$$\left(\partial_x^2 + \partial_y^2 + \frac{1}{6} \partial_x^2 \partial_y^2 \right) u_{ij} = \left(1 + \frac{1}{12} (\partial_x^2 + \partial_y^2) \right) f_{ij}$$

$$\text{levá strana} = \frac{1}{12} (f_{i+1,j} + f_{i-1,j} + f_{i,j+1} + f_{i,j-1} + 8f_{ij})$$

ma' řád přesnosti $O(\Delta x^4)$

- rovnice vedení tepla ve 2D (parabolická rovnice)

$$u_t - b(u_{xx} + u_{yy}) = f$$

implicitní schéma 5-ti bodové

$$\frac{u_{ij}^{n+1} - u_{ij}^n}{\Delta t} - b(\partial_x^2 + \partial_y^2) u_{ij}^{n+1} = f_{ij}$$

$$u_{ij}^{n+1} - \Delta t b(\partial_x^2 + \partial_y^2) u_{ij}^{n+1} = \Delta t f_{ij} + u_{ij}^n$$

2D problémy

- advekční rovnice ve 2D, $u(t, x, y)$

$$u_t + a u_x + b u_y = 0 \quad (1)$$

- počáteční podmínka

$$u(0, x, y) = u_0(x, y)$$

- analytické řešení pro $(x, y) \in \mathbb{R}^2$

$$u(t, x, y) = u_0(x - at, y - bt)$$

- rovnice

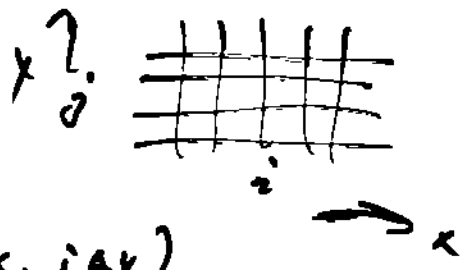
$$-a u_{xx} - b u_{yy} + a u_{ox} + b u_{oy} = 0$$

Metoda rozkladu (splitting)

- rozložíme (1) na

$$u_t + a u_x = 0 \quad (2)$$

$$u_t + b u_y = 0 \quad (3)$$



- diskretizace $u_{ij}^k \hat{=} u(uat, i\Delta x, j\Delta y)$

- radu u_{ij}^k

- t_j řešení (2) 1D dif. schématem D_x - vyhodí se z u_{ij}^k
- dostane řešení u_{ij}^{k+1}

- t_i řešení (3) 1D dif. schématem D_y - vyhodí se z u_{ij}^k
- dostane řešení u_{ij}^{k+1}

Symetrizace

- základní metoda $u_{ij}^{k+1} = D_y D_x u_{ij}^k$
je pouze 1. řádu přesnosti

- Strongův rozklad (Strong splitting)

$$u_{ij}^{k+1} = D_x^{at/2} D_y^{at} D_x^{at/2} u_{ij}^k$$

je 2. řádu přesnosti

$$u_{ij}^{k+1} = D_x^{at/2} D_y^{at} D_x^{at} D_y^{at} \dots D_y^{at} D_x^{at/2} u_{ij}^k$$

- symetrizace

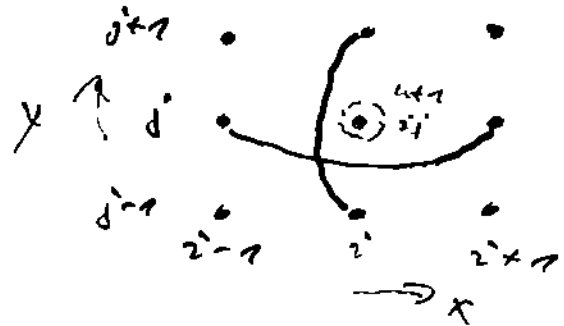
$$u_{ij}^{k+1} = \frac{1}{2} (D_y^{at} D_x^{at} + D_x^{at} D_y^{at}) u_{ij}^k$$

- je 2. řádu přesnosti

• stabilita - dle stability teorie oddekanst $\max(|a| \frac{\Delta t}{\Delta x}, |b| \frac{\Delta t}{\Delta y}) \leq 1$

2D - metody bez rozkladu (non-splitting)

$$u_t + a u_x + b u_y = 0$$



• kontrolni

$$\frac{u_{ij}^{n+1} - u_{ij}^n}{\Delta t} + a \frac{u_{i+1,j}^n - u_{i-1,j}^n}{2\Delta x} + b \frac{u_{i,j+1}^n - u_{i,j-1}^n}{2\Delta y} = 0$$

• Lax - Friedrichs LF

$$\frac{u_{ij}^{n+1} - \frac{1}{4}(u_{i+1,j}^n + u_{i-1,j}^n + u_{i,j+1}^n + u_{i,j-1}^n)}{\Delta t} + a \frac{u_{i+1,j}^n - u_{i-1,j}^n}{2\Delta x} + b \frac{u_{i,j+1}^n - u_{i,j-1}^n}{2\Delta y} = 0$$

• řád přesnosti - 1. řádu
Taylor u t, x, y

• stabilita

$$u_{i+l, j+k}^{n+m} \rightarrow g^m \cdot e^{i\xi l} \cdot e^{i\eta k}$$

$$g(\xi, \eta, \cdot)$$

$$\forall \xi, \forall \eta$$

$$|g(\xi, \eta, \cdot)| \leq 1$$

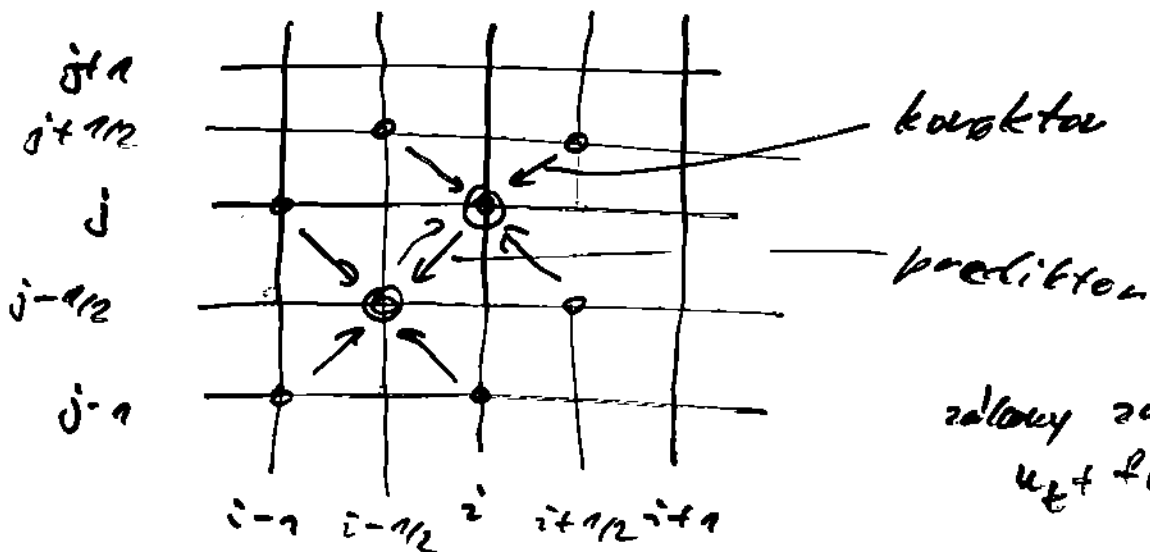
g ucedvisi explicitně
na $\Delta x, \Delta y, \Delta t$
může záviset
na $\lambda = \frac{\Delta t}{\Delta x}, \mu = \frac{\Delta t}{\Delta y}$

• kontrolni schéma je bezpodmínečně nestabilní

• LF pro $\lambda = \frac{\Delta t}{\Delta x} = \frac{1}{2}, \mu = \frac{\Delta t}{\Delta y} = \frac{1}{2}$ je stabilní pro $|\lambda| \leq \frac{1}{2}$

$$u_x + a u_x + b u_y = 0$$

• poskukta' sifl • $\Delta x/2, \Delta y/2$



zadany zadanu' v 2D
 $u_x + f(u)_x + g(u)_y = 0$

• jako v 1D - prediktor LF

$$\frac{u_{i-1/2, j-1/2}^{n+1/2}}{\Delta t/2} - \frac{1}{4} (u_{ij}^n + u_{i-1, j}^n + u_{i, j-1}^n + u_{i-1, j-1}^n)$$

$$+ \frac{a}{2\Delta x} (u_{ij}^n + u_{i, j-1}^n - u_{i-1, j}^n - u_{i-1, j-1}^n)$$

$$+ \frac{b}{2\Delta y} (u_{ij}^n + u_{i-1, j}^n - u_{i, j-1}^n - u_{i-1, j-1}^n) = 0$$

• konktor LF - ma' d'itese u' i 1. krouy' LF

$$\frac{u_{ij}^{n+1}}{\Delta t} - \frac{1}{4} (u_{i+1/2, j+1/2}^{n+1/2} + u_{i-1/2, j+1/2}^{n+1/2} + u_{i+1/2, j-1/2}^{n+1/2} + u_{i-1/2, j-1/2}^{n+1/2})$$

$$+ \frac{a}{2\Delta x} (u_{i+1/2, j+1/2}^{n+1/2} + u_{i+1/2, j-1/2}^{n+1/2} - u_{i-1/2, j+1/2}^{n+1/2} - u_{i-1/2, j-1/2}^{n+1/2})$$

$$+ \frac{b}{2\Delta y} (u_{i+1/2, j+1/2}^{n+1/2} + u_{i-1/2, j+1/2}^{n+1/2} - u_{i+1/2, j-1/2}^{n+1/2} - u_{i-1/2, j-1/2}^{n+1/2}) = 0$$

• konktor LF - ma' stejny' prediktor jako LF

$$\frac{u_{ij}^{n+1}}{\Delta t} - u_{ij}^n$$

$$+ \frac{a}{2\Delta x} (u_{i+1/2, j+1/2}^{n+1/2} + u_{i+1/2, j-1/2}^{n+1/2} - u_{i-1/2, j+1/2}^{n+1/2} - u_{i-1/2, j-1/2}^{n+1/2})$$

$$+ \frac{b}{2\Delta y} (u_{i+1/2, j+1/2}^{n+1/2} + u_{i-1/2, j+1/2}^{n+1/2} - u_{i+1/2, j-1/2}^{n+1/2} - u_{i-1/2, j-1/2}^{n+1/2}) = 0$$

• liska / uuka / del / 2d / uka u